



Préparation à l'analyse combinée T2K-SK

Lucile MELLET

Encadrant de stage : Mathieu GUIGUE

Rapport Bibliographique
Stage de M2 NPAC

Année 2019-2020

Plan

1)	Introduction	p.3
II)	Contexte Général	p.3
	a. Neutrinosb. Oscillations dans le videc. Effets de matière	p.3 p.3 p.4
	d. Les « secteurs » de neutrinose. Les questions ouvertes en physique des neutrinosf. T2K et SK	p.5 p.5 p.6
III)	Contexte du stage	p.7
	 a. Une analyse combinée b. Présentation et discussion des analyses publiées 1_ Introduction aux méthodes d'analyse i. Les fonctions de vraisemblance ii. La méthode d'analyse de la colla 2_ Intégration des contraintes issues de T2K au 3_ Première analyse combinée T2K-SK avec de c. Le stage 	ux analyses SK
IV)	Conclusion	p.14

Bibliographie

Remerciements : Je remercie Mathieu Guigue pour son encadrement lors de ce début de stage malgré les conditions particulières de ce stage à distance, ainsi que toute l'équipe Neutrinos du LPNHE pour leurs conseils sur ce rapport et leur accueil au sein de l'équipe.

Préparation à l'analyse combinée T2K-SK

I) Introduction

J'ai choisi d'effectuer mon stage au Laboratoire de Physique Nucléaire et des Hautes Energies (LPNHE) à Paris. Fondé en 1970, ce laboratoire est impliqué dans plusieurs grands programmes expérimentaux internationaux couvrant les enjeux actuels de la physique des particules, des astroparticules et de la cosmologie. Plus précisément, parmi les 12 groupes de recherche, mon stage est encadré par le groupe Neutrinos travaillant au sein de la collaboration internationale T2K (Tokai to Kamioka), dont l'expérience est basée au Japon et consacrée à la détection et caractérisation des oscillations de saveur de neutrinos. Ce choix de stage de pré-thèse est motivé par mon souhait d'y préparer ma thèse en physique des neutrinos, qui m'intéresse particulièrement à la fois d'un point de vue très concret de par le défi que leur détection représente mais aussi du point de vue des questions scientifiques fondamentales qui restent ouvertes dans ce domaine. Les neutrinos sont à la frontière entre le Modèle Standard connu et la physique qu'il peut y avoir au-delà. En effet, leur mécanisme d'acquisition de masse et leur nature Dirac ou Majorana sont encore inconnus. De plus, ce champ de recherche possèdent de nombreuses connections avec d'autres thématiques : l'asymétrie matière/antimatière de l'univers pourrait trouver une origine dans la violation de CP dans le secteur des neutrinos; les neutrinos de hautes énergies émis par des sources astrophysiques permettent l'étude de celles-ci, ...

II) Contexte général

a. Neutrinos

Les neutrinos sont des particules leptoniques élémentaires électriquement neutres et de masse extrêmement faible ($m_{\beta} \leq 1.1 eV$, 90% C.L. [1]) n'interagissant que par interaction faible ce qui explique leur section efficace et donc leur probabilité d'interaction très faible. Par interaction faible, à courant chargé (échange d'un boson W^{\pm}) ou à courant neutre (échange d'un boson Z), les neutrinos interagissent avec les leptons et nucléons (par diffusion élastique ou par l'intermédiaire des quarks selon la gamme d'énergie).

b. Oscillations dans le vide

Par ailleurs, les neutrinos existent en trois saveurs : électroniques, muoniques et tauiques. Mais ces états de saveurs sont des états propres de l'Hamiltonien de l'interaction faible par laquelle les neutrinos sont produits mais ne sont pas les états propres de masse c'est-à-dire de propagation. Ces derniers sont les états 1,2 et 3. Les états propres de saveurs sont une superposition quantique de ces états de masse dont le mélange est défini par la matrice Pontecorvo-Maki-Nakagawa-Sakata (PMNS),(Eq.1), dont les paramètres sont les angles de mélanges (c_{ij} et s_{ij} signifient $\cos(\theta_{ij})$ et $\sin(\theta_{ij})$) , δ_{CP} la phase de violation de CP et P est la matrice contenant les deux phases de Majorana dans le cas de neutrinos de Majorana et la matrice identité sinon.

C'est donc parce que les états propres de masse et de saveur sont différents que les neutrinos peuvent changer de saveur pendant la propagation entre leur lieu de production et leur lieu d'interaction (détection),. C'est le phénomène d'oscillation neutrinos.

$$U = \begin{pmatrix} c_{12}c_{13} & s_{12}s_{13} & s_{13}e^{-i\delta_{CP}} \\ -s_{12}c_{23} - c_{12}s_{13}s_{23}e^{-i\delta_{CP}} & c_{12}c_{23} - s_{12}s_{13}s_{23}e^{-i\delta_{CP}} & c_{12}s_{23} \\ s_{12}s_{23} - c_{12}s_{13}c_{23}e^{-i\delta_{CP}} & -c_{12}s_{23} - s_{12}s_{13}c_{23}e^{-i\delta_{CP}} & c_{12}s_{23} \end{pmatrix} P$$
 (1)

Pour caractériser ces oscillations, on peut utiliser[2] le formalisme de la mécanique quantique et des ondes planes dans une première approximation, avec un terme de propagation en e^{-iE_it} , où E_i est l'énergie de l'état i en unités naturelles et dans la limite relativiste. On obtient une probabilité d'oscillation des neutrinos d'un état de saveur α à β ,après une propagation sur une longueur L dans le vide, (Eq2), où les indices i et j lisent les états de masse (3 dans l'hypothèse standard), E est l'énergie totale et $\Delta m_{ji}^2 = m_j^2 - m_i^2$. Pour les antineutrinos, on obtient un signe – devant la partie imaginaire de la même équation.

$$P(v_{\alpha} \to v_{\beta}) = \delta_{\alpha\beta} - 4\sum_{i < j} \Re\left[U_{\alpha i}U_{\beta i}^*U_{\alpha i}^*U_{\beta i}\right] \sin\left(\frac{\Delta m_{ji}^2 L}{4E}\right)^2 + 2\sum_{i < j} \Im\left[U_{\alpha i}U_{\beta i}^*U_{\alpha i}^*U_{\beta i}\right] \sin\left(\frac{\Delta m_{ji}^2 L}{2E}\right)$$
(2)

Pour une transition de v_μ vers v_e , pour un rapport L(km)/E(GeV) petit (pour $(\sin\frac{1.27\Delta m_{31}^2L}{E})^2\ll 1)$ et dans l'approximation $\Delta m_{12}^2\ll \Delta m_{31}^2\approx \Delta m_{32}^2$, on obtient [3] :

$$P(v_{\mu} \to v_e) \cong (\sin \theta_{23})^2 (\sin 2\theta_{13})^2 (\sin \frac{1.27\Delta m_{31}^2 L}{E})^2$$
 (3)

c. Effets de matière

Cela décrit les oscillations dans le vide. Cependant, dans toutes les expériences sur Terre, les neutrinos se propagent dans la matière et peuvent interagir de manière non-destructive avec le milieu qu'ils traversent et cela peut avoir un impact parfois non négligeable sur la probabilité d'oscillation. En effet, cela ajoute, à l'Hamiltonien de propagation, un terme de potentiel dépendant de la saveur leptonique, et des densités du milieu en électron n_e et en neutron. Pour les antineutrinos, le potentiel est le même mais de signe opposé. Pour les milieux de densité constante, on peut en déduire des conditions de résonnance où l'angle de mélange du à ces effets de matière est maximal puis diminue en s'éloignant de la résonnance. Ces effets entrainent une augmentation (ou une suppression) des oscillations soit pour les neutrinos soit pour les antineutrinos selon la hiérarchie de masse (signe de Δm_{31}^2) (ce qui induit une asymétrie à distinguer de celle induite par une éventuelle violation de CP). On obtient par exemple une probabilité d'oscillation (Eq3) dépendante d'un paramètre $\Gamma = \frac{\sqrt{2}G_F n_e E}{\Delta m_{31}^2}$ pour une transition de v_μ vers v_e avec G_F la constante de Fermi par les modifications suivantes (issues de [3]) des paramètres :

$$\Delta m_{31,M}^2 = \Delta m_{31}^2 \sqrt{(\sin 2\theta_{13})^2 + (\Gamma - \cos 2\theta_{13})^2} \text{ et } (\sin 2\theta_{13,M})^2 = \frac{(\sin 2\theta_{13})^2}{(\sin 2\theta_{13})^2 + (\Gamma - \cos 2\theta_{13})^2}$$
(4)

Si la densité n'est pas constante, une dépendance en temps au cours de la propagation est nécessaire pour modéliser ces effets. Ces effets sont à prendre en compte lorsque la distance parcourue dans la matière est importante, typiquement pour un neutrino ayant traversé plusieurs centaines de kilomètres dans la Terre ou bien le Soleil.

d. Les « secteurs » de neutrinos

En effet, les (anti) neutrinos peuvent être produits en quantité par divers sources : désintégration beta (réacteurs nucléaires), processus de fusion dans le Soleil, source astrophysique de ultra-hautes énergies et par interaction des protons des rayons cosmiques avec l'atmosphère créant des pions et des kaons qui se désintègrent par interaction faible en paires lepton/neutrinos. D'un point de vue de vocabulaire expérimental (sur Terre), puisque les probabilités d'oscillations et donc les paramètres d'oscillation accessibles pour une mesure dépendent du rapport énergie/distance, on classe les paramètres en secteurs de cette manière: secteur 1-2 (secteur solaire), secteur 2-3 (secteur atmosphérique) et secteur 1-3 (secteur des réacteurs).

e. Les questions ouvertes en physique des neutrinos

De nombreuses questions restent ouvertes sur la physique des neutrinos, bien que l'on soit désormais plus dans une période de précision que de découvertes, et justifient la recherche dans ce domaine. En voici un court aperçu :

La hiérarchie de masse n'est pas connue. Sont déjà mesurés m2>m1 et $\Delta m^2_{sol} \ll \Delta m^2_{atmos}$ mais cette hiérarchie peut être dite « normale » (m1<m2<m3) ou inversée (m3<m1<m2). Les Δm^2 étant des paramètres d'oscillation, cette hiérarchie peut être contrainte par l'étude d'oscillations dans certaines conditions.

Les paramètres d'oscillations ne sont pas totalement contraints : on peut voir en Figure 1 (issue de [4]), l'étendue des régions de confiance à 90% obtenue par la collaboration T2K dans le plan Δm_{32}^2 vs $(\sin\theta_{23})^2$ dans l'hypothèse de hiérarchie normale.

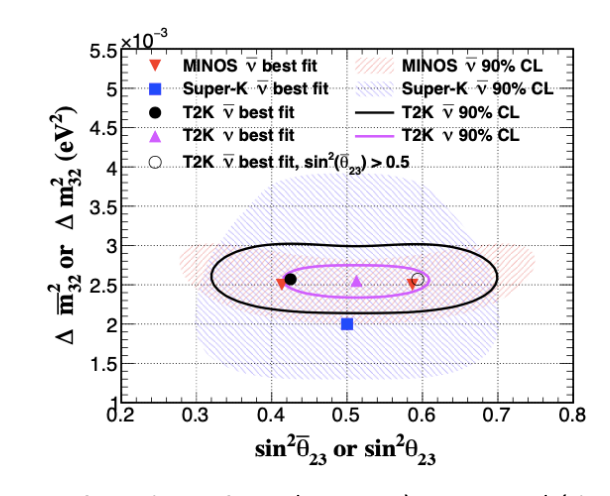


Figure 1: Contraintes T2K sur les paramètres atmosphériques d'oscillations [4], fig2

La phase de violation de CP^1 n'est pas connue non plus, d'ailleurs il n'y a pas de preuve expérimentale formelle (à 5σ) d'une violation de cette symétrie dans le secteur des leptons. Comme dit précédemment, il est compliqué dans le contexte de la physique des neutrinos de

¹ Symétrie CP : transformation simultanée par conjugaison de charge (particule → antiparticules) et par Parité (inversion dans l'espace).

la distinguer de l'asymétrie matière-antimatière résultant des interactions le long de la propagation puisque l'observable est la même : une différence entre la probabilité d'apparition des $v_{\mu(e)}$ et des $\overline{v_{\mu(e)}}$.

Enfin, le mécanisme d'attribution d'une masse très faible aux neutrinos n'est pas connu non plus et relève de physique au-delà du modèle standard. La recherche de ce mécanisme pose la question de la nature du neutrino: Dirac comme les autres particules du modèle standard ou bien Majorana ce qui signifie que le neutrino serait sa propre antiparticule.

f. T2K et SK

Pour tenter de s'approcher des réponses à ces questions, de nombreuses expériences de physique des neutrinos existent, ont existé ou vont exister. Présentons ici les deux expériences pertinentes pour le contexte de ce stage. Ces expériences sont des expériences d'oscillations qui peuvent donc être sensibles aux paramètres d'oscillations, à la violation de CP et la hiérarchie de masse mais elles ne peuvent répondre à la question de la nature des neutrinos, puisque les phases de Majorana s'annulent dans la formule de probabilité d'oscillation (la matrice P étant diagonale, Eq.1).

Tout d'abord, SuperKamiokande (SK) est un détecteur de neutrinos situé dans la mine de Mozumi au Japon afin de réduire le bruit de détection induit par les muons cosmigues principalement. Il s'agit d'une cuve cylindrique contenant 50k tonnes d'eau et dont les parois sont couvertes de plus de 12000 tubes photomultiplicateurs (PMT), le volume étant divisé en une partie extérieure servant de veto d'évènements non souhaités pour l'analyse par un jeu de coïncidences, et d'une partie intérieure (majoritaire) qui est le volume de détection. Le principe de détection est par lumière Cherenkov. Les neutrinos interagissent par interaction faible à courant chargé principalement de façon quasi-élastique (CCQE) avec les nucléons. Cela produit un lepton chargé de la même saveur que le neutrino ayant interagi et ce lepton, relativistique et donc dépassant la vitesse de la lumière dans l'eau, émet un cône de lumière (ici bleu à un angle de 42° degré). Cette lumière est détectée par les PMT. On peut noter ici que la forme de ces anneaux Cherenkov détectés permet de distinguer les électrons des muons. En effet, un électron subit de nombreuses collisions et le signal est donc un anneau avec des bords diffus issu de la superpositions de plusieurs anneaux tandis qu'un muon donne un anneau bien défini. En revanche, SK ne permet pas distinguer de manière directe les interactions dues à des neutrinos de celles dues à des antineutrinos car la détection Cherenkov ne donne pas l'information du signe de la charge électrique de la particule détectée.

Actuellement, l'expérience SuperKamiokande vise principalement à étudier les neutrinos solaires et atmosphériques et leurs oscillations ainsi qu'à détecter une éventuelle explosion de supernova.

Mais la cuve de SK sert aussi de détecteur ou final à l'expérience Tokaï to Kamioka (T2K) qui utilise un faisceau de neutrinos produit auprès d'un accélérateur. C'est une expérience d'oscillations, ce qui signifie qu'elle vise à mesurer le taux d'une saveur par rapport à une autre en début et en fin de parcours du faisceau ce qui signe une apparition ou disparition d'une saveur. En pratique, un faisceau de neutrinos est produit sur la côte Est du Japon au JPARC par collision de protons sur une cible de carbone permettant la production de pions et de kaons qui se désintègrent ensuite en (anti)neutrinos muoniques. Un détecteur initial (proche) appelé ND280 et composé de multiples sous-détecteurs permet de connaître la

composition initiale du faisceau en v_μ et v_e et de réduire les diverses incertitudes systématiques comme les sections efficaces de processus nucléaires par exemple. ND280 est un détecteur magnétisé ce qui permet d'obtenir le signe des particules chargées et donc de différencier les neutrinos des antineutrinos contrairement à SK. D'ailleurs, le faisceau peut fonctionner en mode neutrino ou antineutrino en séparant avec des aimants les pions et kaons positifs des négatifs. Le faisceau parcourt ensuite une distance de 295km jusqu'au détecteur final (SK). L'énergie est centrée sur 600MeV pour optimiser les mesures d'oscillation par rapport à cette distance et le faisceau est non-aligné de 2.5° afin de sélectionner une plage d'énergie (et d'impulsion) plus réduite et ainsi de maximiser la probabilité d'oscillation de v_μ en v_e comme on peut le voir en Figure 2. Cette mesure d'oscillation permettant donc l'accès à la mesure des paramètres d'oscillation.

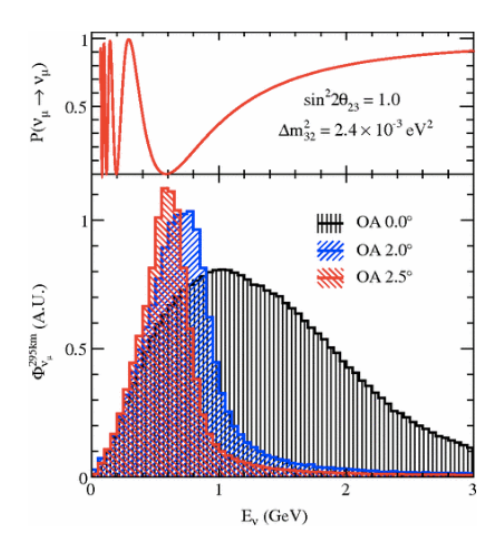


Figure 2: Flux de v_{μ} à 295km en unité arbitraire et probabilité de non-oscillation en fonction de l'énergie, issue de [5], fig1

III) Contexte du stage

a. Une analyse combinée

Comme annoncé par son titre, le but de ce stage est de préparer une analyse combinée des données des expériences T2K et SK. Comme dit précédemment, nous sommes dans une ère de précision dans le domaine de la physique des neutrinos. De ce fait découlent naturellement les motivations d'une analyse combinée. Cela permet d'abord d'augmenter les statistiques en ajoutant des données supplémentaires. Cela permet aussi, puisque ici le stage s'inscrit dans la collaboration T2K, d'ajouter à cette expérience sur faisceau des données plus diverses en énergies et en distances parcourues ce qui rend plus robustes les résultats que l'on peut obtenir. Mais surtout, de par cette diversité des énergies et des distances parcourues, les deux expériences sont en fait complémentaires pour leur sensibilité à des paramètres différents (découlant de la probabilité d'oscillation et des effets de matière). En effet, T2K a une meilleure sensibilité à δ_{CP} notamment car le détecteur proche, magnétisé, permet de différencier les neutrinos des antineutrinos et donc de mieux caractériser leurs proportions dans le flux, tandis que SK, avec des rapports L/E différents est plus sensible à la hiérarchie de masse. La Figure 3 issue de[6] présente les probabilités d'oscillation de saveur muonique vers

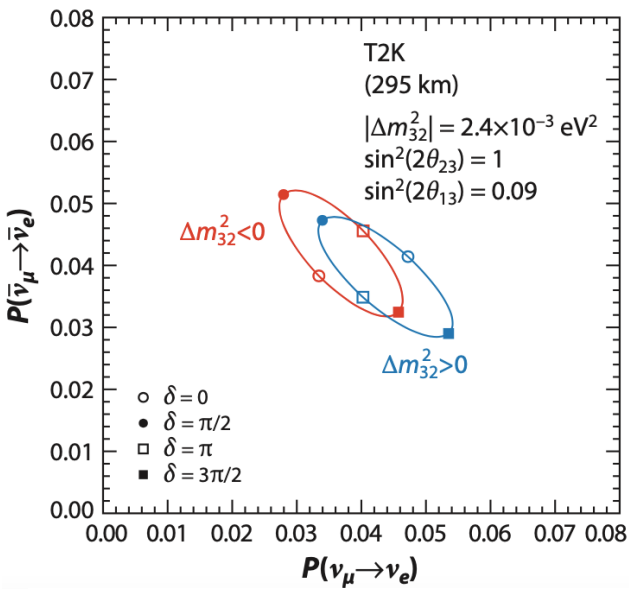


Figure 3: Probabilités d'oscillation antineutrinos vs neutrinos [6],fig2

une saveur électronique pour les antineutrinos versus pour les neutrinos, avec un rapport E/L représentatif de l'expérience T2K. On peut voir que les deux hiérarchies (normale en bleue, inversée en rouge) ne peuvent être totalement séparées par ces conditions expérimentales (pour la région où les deux ellipses se superposent). Cela montre une corrélation entre δ_{CP} et Δm^2_{atmos} , δ_{CP} variant le long des ellipses sur toutes les valeurs possibles.

Ainsi, ces paramètres sont liés, d'où l'intérêt de pouvoir combiner dans une même analyse les données des deux expériences, avec une méthode identique, de sorte de pouvoir prendre en compte ce lien et d'améliorer la sensibilité aux deux paramètres, l'un contraignant l'autre et vice versa.

Bien sûr, une telle analyse avec un traitement parfaitement égal des données dans les méthodes employées et dans la prise en compte des incertitudes représente un travail immense et un véritable challenge. Notamment parce que pour l'instant les deux collaborations utilisent des codes d'analyses distincts chacun optimisé pour leur sensibilité spécifique mais surtout parce que le traitement des nombreuses erreurs systématiques de manière cohérente et en acceptant des corrélations entre paramètres est très compliqué à faire. Pour illustration, voici une liste non exhaustive des sources d'incertitudes possibles : les flux de neutrinos (faisceau et atmosphériques), les sections efficaces des très divers processus, notamment à haute énergie (courant neutre avec production de π^0 , diffusion profondément inélastique(DIS), ...), erreur d'identification des produits d'interactions primaires et secondaires, transparence de l'eau (affectant la détection Cherenkov), ratios neutrinos/antineutrinos et électron/muon, ratio kaon/pion dans les gerbes atmosphériques, activité solaire, profil de densité atmosphérique (impacte la distance parcourue), le volume fiduciel, calibrations, etc.

La complexité d'une telle analyse réside aussi dans le fait que les neutrinos des expériences T2K et SK ont des paramètres d'énergie et de cinématique différents.

b. Présentation et discussion des analyses publiées

Il s'agit donc de préparer une analyse qui combine de manière optimale les données de SK et T2K. C'est à cause de toutes les difficultés évoquées précédemment à conduire une telle

analyse que les premiers pas vers une combinaison ont été faits avec d'importants compromis comme on en discutera concernant les deux analyses présentées ci-après. En effet, pour l'instant aucune analyse combinée complète n'a été faite. Cependant, celles partielles décrites ici représentent une avancée vers plus de précision.

1 Introduction aux méthodes d'analyse

Les fonctions de vraisemblance

Une méthode d'analyse largement utilisée pour récupérer les paramètres d'oscillations à partir des probabilités observées expérimentalement est l'utilisation de fonctions de vraisemblance. Une fonction de vraisemblance est une fonction de plusieurs paramètres : les paramètres d'intérêts (ici les paramètres d'oscillations et de violation de CP) c'est-à-dire des paramètres physiques recherchés par l'analyse et les paramètres de nuisance qui contiennent les différentes variables participant aux incertitudes comme le flux, les sections efficaces,... La fonction de vraisemblance décrit l'adéquation entre un modèle et les mesures observées et est un produit des probabilités (pour chaque observation) selon le modèle testé d'avoir obtenu la mesure ou la distribution observée . Typiquement, dans le cadre d'une analyse d'oscillation, la fonction de vraisemblance se factorise de la manière suivante :

$$\mathcal{L}_{tot} = \mathcal{L}^{osc} \times \mathcal{L}^{syst} \times \mathcal{L}^{data}$$
 (5)

 \mathcal{L}^{syst} comporte les contraintes sur les paramètres de nuisance liés au flux (contraint par le détecteur proche) et les effets systématiques sur la détection à SK. \mathcal{L}^{data} encode la vraisemblance des données expérimentales d'oscillation par rapport au modèle à 3 saveurs en fonction des paramètres d'oscillation. \mathcal{L}^{osc} permet d'ajouter à la fonction totale des contraintes extérieures venant de d'autres expériences (NOvA, Double-Chooz, RENO, Daya Bay, MINOS...): ce sont les a priori sur ces paramètres.

Les paramètres pour lesquels la fonction de vraisemblance est maximale sont ceux pour lesquels les données correspondent le mieux aux modèles testés. Pour un modèle donné, la maximisation de \mathcal{L}_{tot} donne donc les paramètres recherchés avec un certain niveau de confiance qui peut être calculé à posteriori par des tests statistiques tels que celui du χ^2 réalisé entre le modèle avec les paramètres issus de la fonction de vraisemblance et la distribution des données.

ii. <u>La méthode d'analyse de la collaboration T2K</u>

Il existe plusieurs méthodes d'extraction des paramètres d'oscillation à partir de la fonction de vraisemblance, notamment concernant la gestion des paramètres de nuisance. Ici, celle qui nous intéresse est celle utilisée par le groupe d'analyse officiel dans lequel s'inscrit le travail de ce stage : le groupe P-theta (1 des 3 groupes d'analyse de T2K, les deux autres étant Valor et Mach3). En voici certains détails² :

Parmi les détections de neutrinos enregistrées lors des prises de données, 5 échantillons sont utilisés, classés de la manière suivante selon l'état de saveur final détecté : v_e , $\overline{v_e}$, v_μ , $\overline{v_\mu}$, et neutrino + pion. La probabilité de ce dernier échantillon augmente avec l'énergie. Ces échantillons sont repartis en 200 classes (bins) selon l'énergie reconstruite du neutrino incident. Le modèle utilisé(celui dont la fonction de vraisemblance teste la compatibilité avec les données)c pour extraire les paramètres recherchés est un modèle à trois saveurs leptoniques qui tient compte des effets de matière et donc la distribution de probabilité est supposée Poissonnienne. Les plages de valeurs testées pour les paramètres recherchés lors

9

² Source: Notes techniques de la collaboration T2K, notamment n°161

de la maximisation de la fonction de vraisemblance sont choisies selon la force des contraintes implémentées dans \mathcal{L}^{osc} . Pour chaque valeur testée d'un paramètre d'intérêt, il faut gérer les paramètres de nuisance. Pour le groupe P-theta, cela est réalisé par une marginalisation des paramètres de nuisance, c'est-à-dire l'intégration de ceux-ci sur l'ensemble de leurs valeurs possibles. Cette marginalisation n'est pas faite de manière continue mais par un tirage au sort de 10000 valeurs pour chaque paramètre de nuisance selon la loi de probabilité qui leur est connue. Les bins de données se voient attribuer un nouveau poids statistique en fonction des paramètres de nuisance.

L'analyse peut être faite en plusieurs étapes, pour optimiser les temps de calculs notamment, par exemple dans [4] par paires de paramètres.

La différence entre les deux analyses discutées ci-dessous réside principalement dans le contenu de leur fonction de vraisemblance.

2_Intégration des contraintes issues de T2K aux analyses SK

Tout d'abord, une analyse a été publiée en 2018 par la collaboration SK [3].

Comme dit précédemment, SK est une expérience d'oscillation de neutrinos atmosphériques (et solaires). L'analyse présentée dans la publication de 2018 [3], utilise donc des échantillons de données de neutrinos atmosphériques uniquement, provenant des 4 cycles de prise de données de l'expérience (de 1996 à 2018) même si la majeure partie des statistiques provient du $4^{\rm ème}$ et dernier cycle. L'analyse de ces neutrinos atmosphériques est optimisée pour être sensible à la hiérarchie de masse et la partie combinée de l'analyse (d'intérêt ici) a pour principe le suivant : ajouter les résultats finaux et publiés de T2K notamment sur les paramètres d'oscillation sous forme de contraintes supplémentaires (terme \mathcal{L}^{osc}) dans la méthode d'obtention des paramètres pour l'analyse atmosphérique. Cette méthode apporte une contrainte supplémentaire et donc une meilleure précision sur les résultats obtenus, cependant, elle est loin d'être idéale comme nous le verrons.

Les évènements parmi les données, retenus pour l'analyse sont sélectionnés en plusieurs phases. Sans entrer dans les détails, les neutrinos atmosphériques d'une énergie supérieure au *GeV* sont sélectionnés, de saveurs électronique et muonique. Une succession de sélections est effectuée pour distinguer les neutrinos des antineutrinos ce qui est essentiel à la sensibilité à la hiérarchie de masse, comme dit en expliqué en II)c. Ces sélections sont différentes selon les types d'interaction (CCQE, diffusion profondément inélastique, diffusion avec résonnance ...), par exemple, la sélection peut se faire statistiquement sur les distributions, ou en utilisant le nombre de pions produits (évènements multi-anneaux), etc.

La collaboration SK n'utilise pas la même méthode d'analyse que T2K.

La méthode d'analyse (sans combinaison) des données est ici [3] la suivante : une fois les échantillons sélectionnés, une simulation de données est réalisée, en utilisant les logiciels de simulation du détecteur et du flux de neutrinos atmosphériques, pour toutes possibles combinaisons de valeurs des paramètres d'oscillations et ensuite les données et les simulations sont divisées en bins de la même manière de sorte de pouvoir faire un ajustement entre les deux. En effet, un ajustement est optimisé entre les données réelles et les différents sets de paramètres simulés par une optimisation de l'outil statistique χ^2 avec l'hypothèse de distributions de Poisson. Le set de paramètres pour lequel le χ^2 est minimisé est le meilleur

accord avec les données et donc ce sont les paramètres recherchés. Cela correspond à maximiser la fonction de vraisemblance. La sensibilité des résultats obtenus est évaluée à partir des différentes sources d'incertitudes systématiques prises en compte aux différentes étapes de l'analyse. Les paramètres du secteur solaire sont considérés connus.

Pour améliorer la sensibilité aux paramètres recherchés, notamment à la hiérarchie de masse qui dépend des paramètres d'oscillation, les auteurs ont contraint d'avantage la recherche de ces paramètres dans l'analyse par les données déjà obtenues par d'autres expériences. Cela est donc implémenté dans le facteur \mathcal{L}^{osc} de la fonction de vraisemblance.

Tout d'abord, l'angle θ_{13} dans l'analyse est contraint (au lieu d'être un paramètre libre) autour de sa valeur ($\sin\theta_{13}{}^2=0.0219\pm0.0012$) connue grâce aux expériences de Daya Bay (Chine), RENO (Corée du Sud) et Double Chooz (France)[3].L'incertitude sur cet angle est traitée dans l'analyse comme une erreur systématique supplémentaire. On remarque que cette manière de combiner les résultats n'est pas optimale du tout, puisque seul le résultat final est pris en compte sans traitement égal des corrélations et incertitudes des différentes expériences .

Ensuite, une implémentation des résultats de T2K plus rigoureuse que cette contrainte sur la valeur de $\sin \theta_{13}^2$ est possible car les deux expériences ont le même détecteur final et donc ont en commun leur logiciel de simulation du détecteur et des interactions de neutrinos et leurs outils de reconstructions d'évènements. Les auteurs ont donc pu simuler des données de T2K avec uniquement des informations sur le flux du faisceau et sur les erreurs systématiques (notamment venant des mesures du détecteur proche de T2K). Ces « données » doivent bien sûr, pour être valables, redonner dans certaines limites les résultats publiés par T2K lorsque le processus d'analyse décrit précédemment leur est appliqué sans les données de SK. Le même volume fiduciel que pour les données de SK est utilisé dans la simulation et seuls des évènements « totalement contenus » dans le détecteur (c'est-à-dire sans particule détectable s'échappant du détecteur après interaction (le volume veto donne cette information)), provenant d'une interaction CCQE (quasi-élastique et à courant chargé pour rappel) et d'énergie reconstruite du neutrino inférieure à 1.3GeV (pour éliminer les électrons provenant de la désintégration d'un muon (cosmique par exemple)) sont retenus. Ces échantillons simulés sont ensuite intégrés à l'analyse aux côtés des données réelles de SK avec leur poids statistique respectifs.

On ne combine pas ici les données des deux expériences, on rajoute simplement les contraintes issues des résultats des analyses de T2K dans la fonction de vraisemblance pour laquelle les seules données sont celles de SK. Leurs erreurs systématiques sont aussi implémentées de la manière suivante : les erreurs sur le détecteur et les sections efficaces sont considérées totalement corrélées tandis que les erreurs sur les flux sont décorrélées puisque découlant de mesures et de processus différents.

Par cette méthode d'analyse, le résultat obtenu dans cette étude dont le but principal était de contraindre la hiérarchie de masse, est une faible préférence pour une hiérarchie « normale » avec $\chi^2_{normal} - \chi^2_{inversée} = \Delta \chi^2 = -3.48$ ce qui entraine, si l'on se met dans le cas d'une hiérarchie normale, parmi les sets de paramètres d'oscillations autorisés dans un intervalle de confiance de 90%, un rejet entre 81.9% et 96.7% de la hiérarchie inversée. Ces chiffres de rejet marquent la possibilité de distinguer les deux hypothèses de hiérarchie,

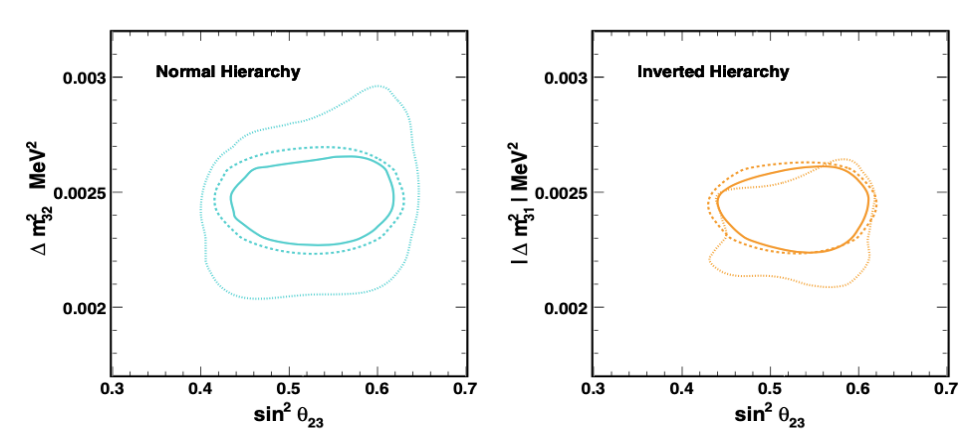


Figure 4: Contours des contraintes obtenues dans le plan Δm_{32}^2 vs $\sin\theta_{23}^2$ pour SK seul (gros pointillés), modèle de T2K (pointillés fins) et avec la combinaison (ligne continue),issue de [3],fig17

sachant qu'une découverte certaine serait d'être capable de séparer totalement les deux hypothèses avec une sensibilité de 5 sigmas. Grâce à l'analyse combinée, les auteurs ont pu contraindre un petit peu plus ces résultats en obtenant une préférence légèrement plus forte pour la hiérarchie normale avec $\Delta \chi^2 = -4.33$ et un rejet entre 91.9% et 94.5%. Le gain est sensibilité est aussi visible en Figure 4, où la ligne pleine correspondant à la combinaison forme bien une région plus réduite pour les paramètres d'oscillations. La combinaison faite dans cette étude a aussi de permis de réduire l'incertitude sur la valeur de δ_{CP} de près de 44%.

Cela démontre, dans le principe, l'avantage de combiner des données ; cependant le faible gain en sensibilité s'explique par la manière non exhaustive de prendre en compte les données de T2K, notamment le traitement des incertitudes n'est pas optimal, les données de T2K ne sont prises en compte qu'en tant que contraintes sur la vraisemblance , limitées à certains cas (en terme d'énergie et d'interactions) et seule l'analyse adaptée aux neutrinos atmosphériques est appliquée directement. Cela est donc réducteur en sensibilité car très indirect par rapport à une combinaison des données réelles des deux expériences au même titre.

3_ Première analyse combinée T2K-SK avec des neutrinos sub-GeV

Une analyse allant vers une combinaison plus poussée a été conduite par Xiaoyue Li et ses collègues lors de sa thèse [7]. Il ne s'agit pas d'une analyse conjointe officielle des collaborations SK et T2K et ne disposait donc pas des outils d'analyse de SK, cependant en voici les points importants et les leçons à en tirer pour réaliser ce type d'études.

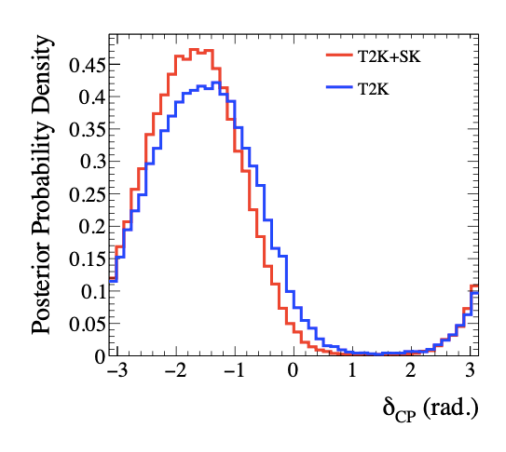
Comme mentionné précédemment, les deux expériences T2K et SK procèdent à des analyses différentes de leurs données notamment dans le traitement des incertitudes systématiques et dans leur méthode statistique. C'est pourquoi une analyse simultanée des données des deux expériences, en les traitant de la même manière est compliquée. De plus, les énergies des neutrinos détectés sont différentes, centrées sur 600MeV pour T2K et atteignant plusieurs GeV pour SK. Cette analyse est la première à effectuer ce type d'étude en essayant de traiter les incertitudes de manière cohérente. Et pour ce faire, elle ne traite que des échantillons de données résultant d'interactions CCQE sans production de pions, ce qui permet de sélectionner des énergies communes (<1.33GeV) et d'avoir un meilleur contrôle des incertitudes puisque les sections efficaces de ces processus sont mieux connues. Cela permet

en théorie une meilleure sensibilité à la phase de violation de CP mais prive cette analyse d'un accès à la hiérarchie de masse.

La méthode d'analyse utilisée est la suivante : il s'agit d'une méthode statistique Bayésienne similaire à celle de T2K_p-theta (présentée en III b. 1_ ii), avec une méthode d'intégration des paramètres de nuisance différente.

L'idée générale est de calculer étape par étape, la distributions des valeurs possibles des paramètres recherchés (oscillation, δ_{CP} , Δm_{ii}^2) sachant la distribution précédente et en prenant en compte les erreurs systématiques sous forme de paramètres de nuisance. Il faut ensuite intégrer sur toute la distribution statistique de ces incertitudes (marginalisation). Pour que cela soit faisable, notamment du point de vue du temps de calcul, un algorithme de Monte Carlo (tirage randomisé avec un certain poids statistique) par chaîne de Markov (les probabilités dans l'étape traitée ne dépendent que de celles de l'étape précédente, sans mémoire donc) est utilisé. A chaque étape, la fonction de vraisemblance est calculée permettant de parcourir la distribution de probabilité. Cette fonction est ici factorisée en 4 termes afin de séparer $SK(\mathcal{L}^{data_SK})$, $T2K(\mathcal{L}^{data_T2K})$, les incertitudes systématiques (\mathcal{L}^{syst}) et les contraintes précédentes (\mathcal{L}^{osc}) sur les paramètres d'oscillation. Les termes de SK et T2K étant ici des données réelles. Cette factorisation simplifie le calcul mais introduit une des faiblesses importantes de l'analyse. Elle considère les différents paramètres totalement décorrélés ce qui n'est pas le cas. Par ailleurs cette analyse considère aussi les paramètres d'angles zénithaux d'entrée des neutrinos dans le détecteur, le nombre d'anneaux Cherenkov et les paramètres d'identification des particules chargées détectées indépendants les uns des autres, ce qui rajoute des approximations importantes dans l'analyse et donc dans la contrainte des paramètres d'oscillation et de violation de CP.

Ensuite, similairement à l'analyse présentée précédemment, une simulation est implémentée et à chaque étape de la chaîne de Markov, récupère les nouveaux paramètres d'oscillation calculés. Cela permet de faire un ajustement entre cette simulation et les données afin d'obtenir les résultats finaux de l'analyse et la sensibilité obtenue.



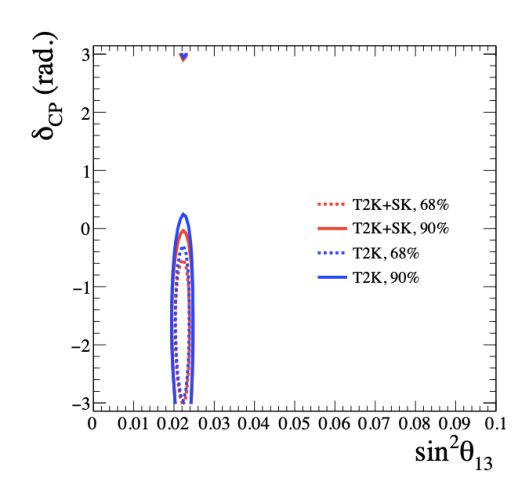


Figure 5: Distribution de δ_{CP} obtenue (à gauche) et contours dans l'espace δ_{CP} vs $\sin\theta_{23}^2$ (à droite) avec ou sans l'intégration des données de SK, issue de [7], figs 6.30 et 6.31

Cette analyse [7] a conduit à des résultats dont les valeurs sont légèrement décalées par rapport à ceux de l'analyse officielle des données de T2K uniquement, pour les paramètres d'oscillation bien que les échantillons utilisés ne soient pas exactement les mêmes. Cependant, le gain attendu en sensibilité à la phase de violation de CP n'a pas été obtenu (voir

la superposition des contours en Figure 5) par cette méthode d'analyse, principalement car sans combinaison , SK et T2K montrent une préférence pour des valeurs différentes de δ_{CP} et donc les chaînes de Markov, c'est-à-dire sans mémoire, ne permettent pas de distinguer entre les deux mais seulement d'obtenir une distribution plus large, contenant les deux préférences. La distribution de probabilité pour δ_{CP} est tout de même restreinte par la combinaison (voir Figure 5 à gauche).

On peut donc dire que cette analyse souffre, comme la précédente, des approximations nombreuses et des étapes intermédiaires ainsi que de la sélection des neutrinos atmosphériques de basse énergie (non-majoritaires à SK) menant à une combinaison non directe et sans traitement réellement égal des données et incertitudes des deux expériences. Cependant, cette analyse est la première analyse combinée de données bien qu'elle soit partielle, elle marque donc le début de ce type d'études et en démontre les difficultés et intérêts.

c. Le stage

Mon stage s'inscrit dans ce contexte comme une préparation à une combinaison des données réelles de T2K et SK et me permettra de me familiariser avec ces types d'analyses et de codes. Le programme est donc ici de préparer l'incorporation des neutrinos atmosphériques de SK dans les analyses standards de T2K, en simplifiant bien sûr pour une toute première approche. La première étape de simplification sera d'estimer une longueur et une densité moyenne traversées par ces neutrinos atmosphériques puis d'en déduire une probabilité d'oscillation sans prendre en compte les angles azimutaux. Bien sûr, la prise en compte des angles d'arrivée des neutrinos dans la cuve Cherenkov serait cruciale dans une véritable analyse, d'autant plus que les angles possibles sont très restreints pour le faisceau contrairement aux neutrinos atmosphériques. De plus, pour les neutrinos atmosphériques, l'angle permet de déduire la longueur et les densités de matières traversées dans la Terre.

L'idée, ici, est de générer des spectres simulés de neutrinos atmosphériques et d'étudier les oscillations sur ceux-ci et ensuite d'essayer, avec ces données simulées, d'arriver à une première étude de sensibilité aux paramètres recherchés. Cela permettra donc une familiarisation avec les codes (C++) nécessaires, les simulations de données, leur technique d'analyse et de calcul de sensibilité.

IV) Conclusion

Ce travail bibliographique présente donc, après une introduction à la physique des neutrinos, les enjeux de la recherche actuelle dans ce domaine et notamment, concernant les expériences d'oscillations des neutrinos telles que celles discutées ici à savoir T2K et SuperKamiokande, la mesure de précision des paramètres d'oscillations (angles de mélange et différences de masse, notamment dans le secteur atmosphérique), la découverte et la mesure de la violation de CP dans le secteur des neutrinos, et la détermination de la hiérarchie de masse des neutrinos. Nous avons pu voir que nombre de ces paramètres sont corrélés et qu'ils sont accessibles de manière idéale en terme de sensibilité pour des rapports de distance sur énergie différents, c'est-à-dire dans des expériences différentes. Cela, ajouté au fait que l'augmentation des statistiques améliore la précision de la mesure, motive la mise en place d'analyses combinées de plusieurs expériences complémentaires.

C'est dans le but de préparer une telle analyse que ce stage vise à préparer l'incorporation de données de SK aux analyses de T2K. Mais une telle combinaison, comme il a été vu à travers les analyses combinées partielles déjà tentées et discutées ici, pose de grandes difficultés, notamment parce que les échantillons de données des deux expériences ne sont comparables, dans la plupart du temps, ni dans leurs caractéristiques énergétiques, d'interaction, ou cinématiques ni dans les incertitudes systématiques qui les accompagnent. Ce travail bibliographique a permis d'avoir un aperçu des méthodes d'analyse et de combinaison qu'il faudra utiliser dans ce type d'analyse.

Notons que pour le stage, il s'agit de modéliser de la manière la plus simple possible les probabilités d'oscillation des neutrinos atmosphériques et leur détection dans le détecteur SK avec les outils d'analyse de T2K. Ensuite, de plus en plus de paramètres pourront être implémentés tels que des paramètres géométriques, systématiques, de reconstruction, etc.. afin de conduire une première étude de sensibilité pour une combinaison avec des données simulées de manière simple de sorte de commencer à aborder une future analyse plus complète. Cela dans le cadre d'une analyse officielle de la collaboration et avec donc comme objectif à long terme (au-delà du stage), la contribution à cette première analyse combinée complète T2K-SK.

Bibliographie:

- [1] M. Aker *et al.*, "An improved upper limit on the neutrino mass from a direct kinematic method by KATRIN," *Phys. Rev. Lett.*, vol. 123, no. 22, p. 221802, Nov. 2019, doi: 10.1103/PhysRevLett.123.221802.
- [2] C. Giganti, S. Lavignac, and M. Zito, "Neutrino oscillations: the rise of the PMNS paradigm," *Prog. Part. Nucl. Phys.*, vol. 98, pp. 1–54, Jan. 2018, doi: 10.1016/j.ppnp.2017.10.001.
- [3] K. Abe *et al.*, "Atmospheric neutrino oscillation analysis with external constraints in Super-Kamiokande I-IV," *Phys. Rev. D*, vol. 97, no. 7, p. 072001, Apr. 2018, doi: 10.1103/PhysRevD.97.072001.
- [4] K. Abe *et al.*, "Updated T2K measurements of muon neutrino and antineutrino disappearance using 1.5e21 protons on target," *Phys. Rev. D*, vol. 96, no. 1, p. 011102, Jul. 2017, doi: 10.1103/PhysRevD.96.011102.
- [5] K. Abe *et al.*, "T2K neutrino flux prediction," *Phys. Rev. D*, vol. 87, no. 1, p. 012001, Jan. 2013, doi: 10.1103/PhysRevD.87.012001.
- [6] R. B. Patterson, "Prospects for Measurement of the Neutrino Mass Hierarchy," *Annu. Rev. Nucl. Part. Sci.*, vol. 65, no. 1, pp. 177–192, Oct. 2015, doi: 10.1146/annurev-nucl-102014-021916.
- [7] Xiaoyue Li, "A Joint Analysis of T2K Beam Neutrino and Super-Kamiokande Sub-GeV Atmospheric Neutrino Data," Stony Brook University, 2018.